

مطالعه‌ی تجربی تأثیر تخت کردن لوله بر ضریب انتقال حرارت در جوشش جابه‌جایی داخل لوله‌ی میکروفین دار

میثم نصر (دانشجوی دکتری)

محمدعلی اخوان‌بهبادی (استاد)

سید احسان مرعشی (کارشناس ارشد)

بردس دانشکده‌های فنی دانشگاه تهران

مسعود جمالی آشتیانی (کارشناس ارشد)

مرکز تحقیقات ساختمان و مسکن

در مطالعه‌ی حاضر، ضمن بررسی مسئله‌ی جوشش اجباری مبدل R-۱۳۴a داخل لوله‌های افقی میکروفین دار تخت، اثرات ناشی از تخت کردن مقاطع بر انتقال حرارت در مطالعه شده است. دستگاه آزمایش، یک سیستم کامل تبرید تراکمی بخار مجهز به کلیه‌ی وسایل اندازه‌گیری مورد نیاز است. در این راستا، لوله‌های میکروفین دار گرد با قطر خارجی ۹/۵۲ میلی‌متر به چهار میزان متفاوت، با ارتفاع داخلی ۶، ۸، ۱۰ و ۱۲/۸ میلی‌متر تخت شده‌اند. داده‌های تجربی برای لوله‌های میکروفین دار تخت در محدوده سرعت جرمی $0.5-1.0\text{ m/s}$ و محدودیت کیفیت بخار $0^{\circ}\text{C}-74^{\circ}\text{C}$ جمع‌آوری می‌شود. نتایج حاصله حاکی از آن است که ضریب انتقال حرارت در لوله‌های تخت با افزایش کیفیت بخار، و سرعت جرمی مشابه لوله‌ی گرد با ثابت‌ماندن سایر شرایط افزایش می‌یابد. همچنین ضریب انتقال حرارت با افزایش میزان تخت شدگی لوله افزایش می‌یابد. با استفاده از نتایج به دست آمده از آزمایش رابطه‌ی برای پیش‌بینی ضریب انتقال حرارت در لوله‌های میکروفین دار تخت ارائه می‌شود.

meisam.nasr@yahoo.com
akhavan@ut.ac.ir
ehsan_marashi@yahoo.com
jamali_59@yahoo.com

وازگان کلیدی: مطالعه‌ی تجربی، ضریب انتقال حرارت، جوشش جابه‌جایی، لوله‌ی میکروفین دار تخت.

مقدمه

خاص یا سیال‌های افزودنی استفاده می‌شود.^[۱، ۲] در روش‌های فعال به یک نیروی خارجی نظیر میدان‌های الکتریکی، آکوستیک یا ارتعاش سطحی نیازمندیم. یکی از روش‌های غیرفعال استفاده از لوله‌های میکروفین دار است. کارایی بالای لوله‌های میکروفین دار در افزایش انتقال حرارت موجب کاربرد گسترده‌ی آنها در صنایع شده، و عملکرد آنها نیز در تحقیقات عدیده مورد بررسی قرار گرفته است. روش دیگری که البته به منظور افزایش انتقال حرارت در کندانسور مورد استفاده قرار می‌گیرد، استفاده از لوله‌های تخت به جای لوله‌های گرد است.^[۳] در مطالعه‌ی حاضر به بررسی تجربی افزایش انتقال حرارت در جریان جوششی R-۱۳۴a داخل لوله‌ی میکروفین دار تخت پرداخته‌ایم.

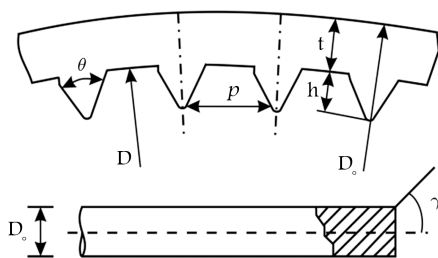
با توجه به اهمیت صرفه‌جویی در مصرف انرژی، مسائل مربوط به بهینه‌سازی مبدل‌های حرارتی همواره محققان بسیاری را به خود مشغول داشته است. در سال‌های اخیر توجه زیادی به مبدل‌های با سطوح فشرده معطوف شده است و درنتیجه مبدل‌هایی با وزن کم‌تر، کوچک‌تر و ارزان‌تر طراحی شده است. تپخیرکننده (اوپراتور) یا کی از پرکاربردترین تبادل‌گرهای حرارتی است. در حقیقت فرایند جوشش درون‌لوله‌یی در تجهیزات گوناگون نظر نیروگاه‌ها (حرارتی، خورشیدی و هسته‌یی)، کارخانجات صنایع شیمیایی، سیستم‌های تبرید و تهویه‌ی مطبوع رخ می‌دهد. بنابراین طراحی بهینه‌ی این تبادل‌گر حرارتی اهمیت زیادی در صرفه‌جویی انرژی دارد.

برای افزایش ضریب انتقال حرارت در تبادل‌گرهای روش‌های مختلفی پیشنهاد شده است. این روش‌ها به دو دسته روش‌های غیرفعال و روش‌های فعال تقسیم می‌شوند. در روش‌های غیرفعال به منظور افزایش انتقال حرارت از سطوح با هندسه‌های

طرح شماتیک دستگاه آزمایش در شکل ۱ ارائه شده و اجزای آن در جدول ۱

تاریخ: دریافت ۱۰، اصلاحیه ۲۹، ۱۳۸۹/۰۶/۱۰، پذیرش ۱۳، ۱۳۸۹/۰۱/۱۰.

دستگاه آزمایش



$\theta = 25^\circ$	زاویه نوک فن:
$\gamma = 15^\circ$	زاویه مارپیچ:
$D_o = 9.52 \text{ mm}$	قطر خارجی:
$D_i = 8.92 \text{ mm}$	قطر داخلی:
$e = 0.75 \text{ mm}$	ارتفاع فین:
$t = 0.3 \text{ mm}$	سخامت دیواره:
$D = 0.48 \text{ mm}$	گام فین:

شکل ۲. مشخصات لوله‌ی میکروفین دار.

نصب شده بر روی پیش‌آزمایش اوله می‌توان کیفیت بخار را در ورود به اوپرатор نمونه تنظیم کرد. به علاوه به منظور جوشش کامل میرد، پس از اوپرатор را بعد از اوپرатор نمونه مورد استفاده قرار داده تا سیال به هنگام ورود به کمپرسور به صورت بخار سوپر هیت درآید و از ایجاد آسیب به کمپرسور جلوگیری شود. کندانسور مورد استفاده یک تبادل‌گر حرارتی از نوع پوسته و لوله است و برای اطمینان از مادون سردشدن مبرد از دو کندانسور استفاده شده است (کندانسور اصلی و کمکی). کندانسورها شامل لوله‌های مسی اند که به صورت رفت و برگشتی با اتصالات U شکل به هم متصل شده و درون یک لوله‌ی فولادی (پوسته) قرار گرفته‌اند. آب سرد در داخل پوسته و میرد در داخل لوله‌های مسی جریان می‌یابد. کندانسور اصلی در کل آزمایشات فعال است، ولی کندانسور کمکی در صورت نیاز (مادون سردشدن مبرد توسط کندانسور اصلی) مورد استفاده قرار می‌گیرد.

دمای سطح خارجی دیواره‌ی اوپرатор نمونه در شش مقطع، و در هر مقطع در دو نقطه‌ی بالا و پایین لوله به‌وسیله‌ی ترموموکوبیل‌های سری T (قلع - مس) اندازه‌گیری می‌شود. میانگین دماهای به دست آمده به عنوان دمای متوسط سطح لوله در تحلیل نتایج مورد استفاده قرار می‌گرد. دمای اشباع سیال عبارت است از دمای اشباع در فشار متوسط ورودی و خروجی اوپرатор نمونه. براساس مشخصات ترمودینامیکی استخراج شده برای مبرد R-۱۳۴a^[۵] ضریب انتقال حرارت در اوپرатор نمونه از رابطه‌ی ۱ محاسبه می‌شود:

$$\bar{h} = \left[\frac{\pi D L (t_{w_0} - t_s)}{VI} - \frac{D}{2k_w} \ln \left(\frac{D_o}{D} \right) \right]^{-1} \quad (1)$$

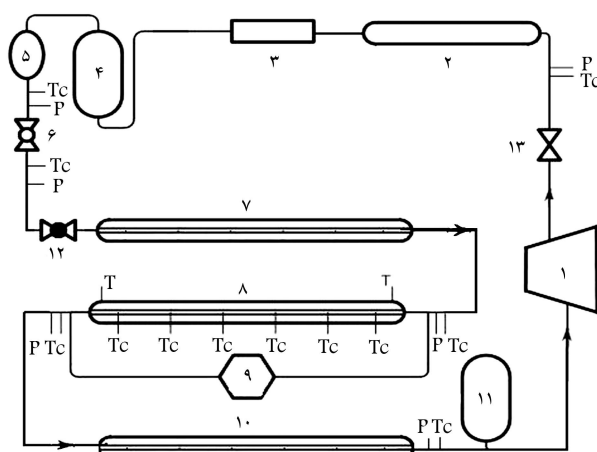
که در آن، \bar{h} ضریب انتقال حرارت متوسط، D قطر داخلی لوله مسی و D_o قطر خارجی آن، L طول اوپرатор نمونه، t_s درجه حرارت اشباع میرد، t_{w_0} متوسط دمای سطح خارجی دیواره‌ی لوله در شش مقطع، k_w ضریب هدایت حرارتی دیواره‌ی لوله، V ولتاژ دو سر المتن الکتریکی و I جریان عبوری از آن است.

به منظور بررسی تأثیر تخت‌شدگی لوله بر ضریب انتقال حرارت، لوله‌های میکروفین دار گرد با عبور از میان دستگاه نورد به لوله‌هایی با سطح مقطع تخت و با ارتفاع داخلی ۶، ۵، ۴، ۳/۸ و ۲/۸ میلی‌متر تبدیل می‌شود (شکل ۳). چنان‌که مشاهده می‌شود شکل مقطع لوله‌ها به صورت مستطیلی با دو انحنای نیم‌دایره در کنار

توضیح داده شده است. این دستگاه در واقع یک سیستم تبرید تراکمی بخار مجهز به کلیه‌ی وسائل اندازه‌گیری مورد نیاز است. دستگاه شامل پیش‌اوپرатор، اوپرатор نمونه و پس‌اوپرатор است. به منظور حرارت دهی به تبخیرکننده‌ها (اوپرаторها) دور آنها المتن حرارتی پیچیده شده است. توان ورودی به اوپرаторها توسط دیمرهای سری شده به منبع تغذیه الکتریکی قابل تنظیم است.

اوپرатор نمونه‌ی آزمایش، یک لوله‌ی مسی میکروفین دار به طول ۱/۱۰ متر است که به صورت افقی در دستگاه آزمایش قرار داده شده است. شکل و مشخصات لوله‌ی میکروفین دار در شکل ۲ مشاهده می‌شود.

با توجه به محدودبودن طول لوله‌ی مورد آزمایش، دامنه‌ی کمی از تغییرات کیفیت بخار در اوپرатор نمونه قابل حصول است. بنابراین به منظور پوشش دادن کل دامنه‌ی جوشش، سیستم به‌گونه‌ی طراحی شده است که کیفیت‌های متفاوت بخار در ورود به اوپرатор نمونه قابل دست‌یابی باشد. این کار با نصب یک پیش‌اوپرатор درین شیر انبساط و اوپرатор نمونه محقق شده است. با تغییر توان ورودی به المتن‌های حرارتی



شکل ۱. طرح شماتیک دستگاه آزمایش.

جدول ۱. اجزای دستگاه آزمایش.

نام وسیله	شماره
کمپرسور	۱
کندانسور	۲
دیسنج	۳
دربافت‌کننده‌ی مایع	۴
فیتر درایر	۵
شیر انبساط	۶
پیش‌اوپرатор	۷
اوپرатор نمونه	۸
دستگاه اندازه‌گیری افت فشار	۹
پس‌اوپرатор	۱۰
جمع‌کننده‌ی مایع	۱۱
ترموکوبیل	TC
فشارسنج	P

انتقال حرارت لوله‌ی میکروفین دار گرد

پیش از هرجیز، ابتدا ضرایب انتقال حرارت محاسبه شده براساس داده‌های آزمایشگاهی لوله‌ی میکروفین دار گرد با روابط موجود برای لوله‌ی گرد میکروفین دار مقایسه می‌شود. برای این منظور از روابط مختلفی می‌توان بهره جست.^[۹-۷] این رابطه‌ها نتایج آزمایشگاهی به دست آمده را در محدوده قابل قبولی پیش‌بینی می‌کنند.

در جدول ۴ میزان تفاوت نتایج آزمایشگاهی تحقیق حاضر با هریک از رابطه‌های مذکور به صورت مجزا آمده است. شکل ۴ نیز مقادیر پیش‌بینی شده توسط سه رابطه‌ی بالا را در کنار نتایج آزمایشگاهی به دست آمده برای لوله‌ی میکروفین دار گرد نشان می‌دهد.

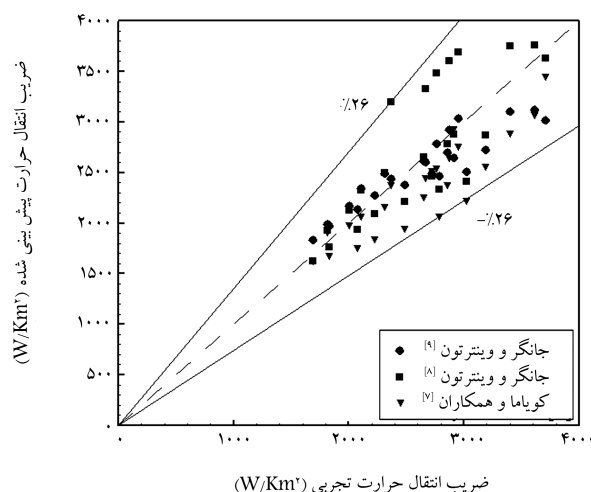
چنان که در شکل ۴ مشخص است، میزان تفاوت داده‌های آزمایشگاهی از داده‌های پیش‌بینی شده براساس روابط یادشده^[۹-۷] از ۲۶٪ تا +۲۶٪ است. تطبیق پذیری خوب میان نتایج آزمایشگاهی لوله‌ی میکروفین دار گرد با مقادیر پیش‌بینی شده براساس روابط مذکور، حاکی از صحت و دقت وسائل اندازه‌گیری و آزمایشات انجام شده است.

انتقال حرارت لوله‌ی میکروفین دار تخت

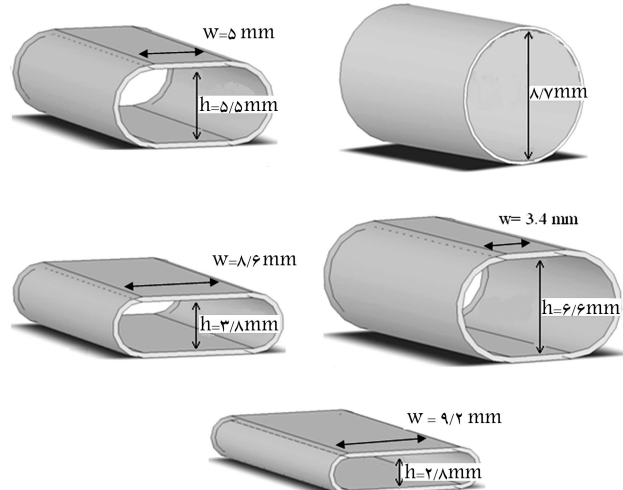
در شکل‌های ۵ و ۶ به ترتیب ضرایب انتقال حرارت جوششی برای لوله‌ی میکروفین دار گرد و لوله‌ی میکروفین دار تخت با ارتفاع داخلی ۳/۸ میلی‌متر نشان داده شده است. چنان‌که مشاهده می‌شود روند مشابه در افزایش ضرایب انتقال حرارت با افزایش کیفیت بخار در لوله‌ی گرد و تخت دیده می‌شود. وابستگی ضرایب انتقال حرارت

جدول ۴. میزان اختلاف بین نتایج آزمایشگاهی به دست آمده و روابط موجود برای لوله‌ی میکروفین دار گرد.

میزان اختلاف	رابطه‌ی پیشنهادی
+۲۶٪ تا -۲۶٪	[۷] کویاما و همکاران (۱۹۹۵)
-۲۰٪ تا +۲۶٪	[۸] جانگر و ویتنرون (۱۹۸۵)
-۱۹٪ تا +۹٪	[۹] جانگر و ویتنرون (۱۹۸۷)



شکل ۴. مقایسه‌ی نتایج آزمایشگاهی با نتایج پیش‌بینی شده براساس روابط موجود برای لوله‌ی میکروفین دار گرد.



شکل ۳. ابعاد سطح مقطع لوله‌ی تخت.

است. مقدار خطای متغیرهای مستقل مؤثر در این مطالعه در جدول ۲ آمده است. تحلیل خطاهای اندازه‌گیری برای تمام آزمایشات با روش ارائه شده توسط شولتز و کول^[۲] انجام، و مشاهده شد که میزان خطای برای تمام آزمایشات کمتر از ۱۰ درصد است.

جمع‌آوری و تحلیل داده‌ها

مجموعاً ۱۲۰ آزمایش مختلف با سرعت جرمی متفاوت برای لوله‌های میکروفین دار گرد و تخت صورت گرفت. محدوده تغییر پارامترهای آزمایش در جدول ۳ ارائه شده است.

جدول ۲. میزان خطای متغیرهای مستقل.

خطای اندازه‌گیری	متغیر
±۰/۰۵	قططر لوله
۰/۵ mm	طول لوله
±۱ W	توان
±۱۰ C	درجة حرارت دیواره‌ی لوله
±۲ kPa	فشار

جدول ۳. محدوده‌ی پارامترهای آزمایش.

R-۱۳۴a	سیال مبرد
۷۴-۱۰۷ kg/m ³ s	سرعت جرمی مبرد
۰,۲۰-۰,۹	کیفیت بخار ورودی به اوپراتور نمونه
۰,۳-۱	کیفیت بخار خروجی از اوپراتور نمونه
۱۰۰۰-۳۰۰۰	عدد رینولدز مایع
۴۴۰۰۰-۱۰۵۰۰۰	عدد رینولدز گاز
۲,۸-۶,۶ میلی‌متر	میزان تخت شدنگی h

هسته‌ی بخاری شود. این اثر و نیز جوشش مستقیم لایه‌ی حلقوی به نازک‌تر شدن لایه‌ی مایع روی دیواره و درنتیجه کاهش مقاومت حرارتی، برای افزایش میزان کیفیت بخار می‌شود.

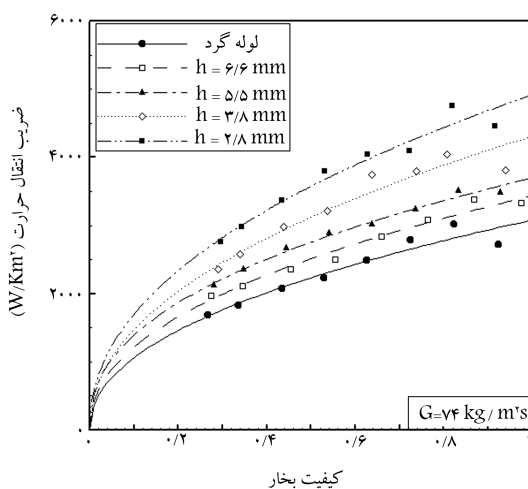
هنگامی که ضخامت فیلم بسیار کاهش می‌یابد جوشش هسته‌ی کاملاً از بین می‌رود و سرانجام فیلم مایع، به علت نیروی گرانشی، در بالای لوله کاملاً تا پیدید می‌شود. در این حالت خشک‌شدنی چرخی دیواره‌ی لوله شروع می‌شود و بیشینه ضربی انتقال حرارت در شروع خشک‌شدنی اتفاق می‌افتد.

بعد از شروع خشک‌شدنی چرخی دیواره ($x < 0.8$ m)، می‌توان از انتقال حرارت در قسمت خشک — در مقایسه با قسمت خیس شده با مایع — صرف نظر کرد. همچنین با افزایش کیفیت بخار ضخامت قسمت خیس دیواره کم می‌شود و بدلیل ضربی هدایت پایین بخار، ضربی انتقال حرارت نیز کاهش می‌یابد. هم‌زمان با خشک‌شدن کل دیواره، انتظار می‌رود ضربی انتقال حرارت نزدیک به مقدار ضربی انتقال حرارت جایه‌جایی اجباری بخار اشباع شود.

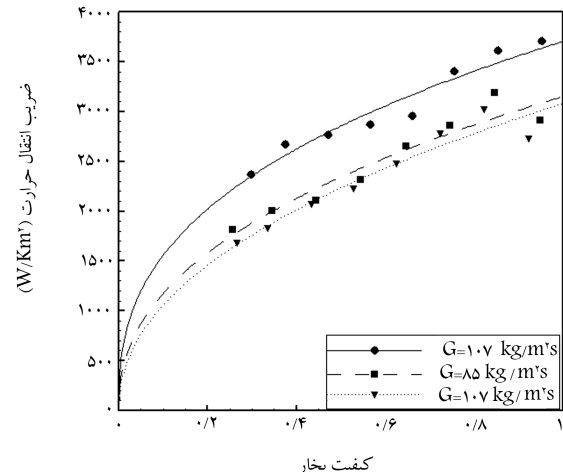
از طرف دیگر، اشکال ۵ و ۶ نشان می‌دهند که ضربی انتقال حرارت در لوله‌های گرد و تخت برای افزایش سرعت جرمی افزایش می‌یابد. افزایش سرعت جرمی باعث تغییر الگوی جریان از موجی جداشونده به حلقوی می‌شود. در جوشش جایه‌جایی، وقتی سرعت سیال افزایش می‌یابد، گرمای دیواره‌ی لوله به سرعت توسط سیال گرفته می‌شود و درنتیجه انتقال حرارت افزایش می‌یابد. به عبارت دیگر سرعت بالا عدد رینولدز $Re = GD/\mu$ بالا می‌دهد و بنابراین مانند جایه‌جایی اجباری نکفاز ضربی انتقال حرارت افزایش می‌یابد.

با تعریف ضربی افزایش انتقال حرارت به صورت نسبت ضربی انتقال حرارت لوله میکروفین دار تخت به ضربی انتقال حرارت لوله گرد صاف، h_{fm}/h_{rs} ، به بررسی تأثیر حضور فین و تخت‌کردن لوله در میزان افزایش ضربی انتقال حرارت می‌پردازیم.

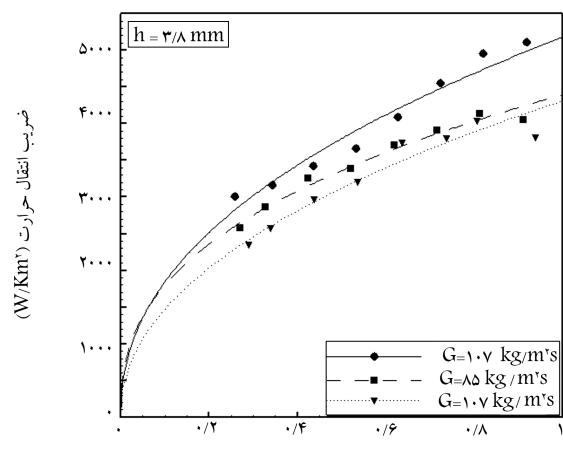
در شکل ۷ تغییرات ضربی افزایش انتقال حرارت بر حسب کیفیت در سرعت جرمی $74 \text{ kg/m}^2\text{s}$ برای لوله گرد و لوله‌های تخت نشان داده شده است. چنان‌که مشاهده می‌شود، روند کلی نمودار نشان می‌دهد که با افزایش کیفیت بخار، نسبت افزایش ضربی انتقال حرارت افزایش می‌یابد. این افزایش در سرعت‌های جرمی پایین بسیار ملموس‌تر است. همچنین مشخص است که این نسبت با کاهش ارتفاع داخلی لوله افزایش می‌یابد.



شکل ۷. تغییرات ضربی افزایش انتقال حرارت با کیفیت بخار در لوله‌های مختلف میکروفین دار در سرعت جرمی $74 \text{ kg/m}^2\text{s}$.



شکل ۵. تغییرات ضربی انتقال حرارت برای لوله میکروفین دار گرد.



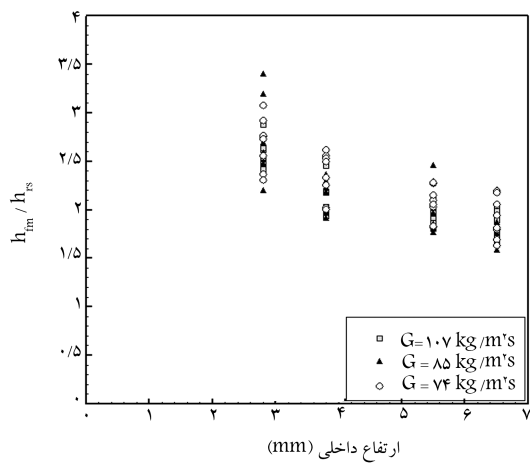
شکل ۶. تغییرات ضربی انتقال حرارت با کیفیت بخار برای لوله میکروفین دار تخت با ارتفاع داخلی $3/8$ میلی‌متر.

به کیفیت بخار متأثر از توزیع نسبی دو سازوکار جوشش (هسته‌ی و جایه‌جایی) الگوی جوششی است.

شکل‌های ۵ و ۶ نشان می‌دهند که ضربی انتقال حرارت با افزایش کیفیت بخار افزایش می‌یابد (علت این پدیده آن است که در کیفیت بخار بالا، لایه‌ی مایع روی دیواره‌ی داخلی لوله نازک‌تر است و باعث مقاومت حرارتی کم‌تر می‌شود) تا به مقداری بیشینه می‌رسد و سپس افت می‌کشد. تغیر شیب منحنی ضربی انتقال حرارت با کیفیت بخار ممکن است ناشی از تغییر الگوی جریان و سازوکارهای مختلف جوشش (هسته‌ی و جایه‌جایی) باشد.

در الگوی جریان حبابی ($x < 0.2$) جوشش هسته‌ی سازوکار غالب جوشش جریانی است. ولی با افزایش کیفیت بخار ($x > 0.2$) و با توجه به سرعت جرمی، الگوی جریان به جریان حلقوی یا جریان موجی جداشونده تغییر می‌کند. در این شرایط جوشش جایه‌جایی به صورت قابل توجهی افزایش می‌یابد. هم‌زمان جوشش هسته‌ی نیز در فیلم مایع کاهش می‌یابد ولی هنوز وجود دارد. درنتیجه در این ناحیه هر دو سازوکار جوشش هسته‌ی و جایه‌جایی وجود دارد.

سرعت بالایی بخار هسته‌ی میانی در جریان حلقوی و جریان موجی جداشونده در حین جوشش باعث جداشدن قطرات مایع از فیلم مایع و معلق شدن در این



شکل ۹. تغییرات نسبت ضرایب انتقال حرارت با ارتفاع داخلی لوله‌ی میکروفین دار تخت.

۱. فین‌های مارپیچ با بالابردن آشتنگی در انتقال حرارت جابه‌جایی و افزایش سرعت مماسی در نزدیک دیواره و ایجاد جریان‌های چرخشی، بر ضریب انتقال حرارت تأثیر می‌گذارند.

۲. حرکت چرخشی باعث ایجاد میدان شتاب گریز از مرکز در درون لوله می‌شود. برای جریان‌های چرخشی دوفاکز که در آن جوشش در دیواره‌ی لوله اتفاق می‌افتد، حباب‌های تشکیل شده در سطح داغ لوله سریعاً توسط مایع چرخشی احاطه می‌شوند. به علت اختلاف چگالی بین مایع و بخار، نیروی گریز از مرکز بیشتری به مایع (نسبت به حباب‌ها) وارد می‌شود. بنابراین حباب‌ها به سرعت از دیواره به سمت مرکز لوله متقلّل، و مایع جایگزین آنها می‌شود.

۳. اثر فینی باعث افزایش سطح انتقال حرارت می‌شود. اهمیت این مورد نسبت به موارد دیگر ناچیز است.

۴. کاهش قطر هیدرولیکی بواسطه‌ی حضور فین‌ها نیز باعث افزایش ضریب انتقال حرارت می‌شود. کاهش سطح مقطع جریان، افزایش محیط مرطوب و افزایش سرعت جریان همگی به افزایش ضریب انتقال حرارت منجر می‌شود. دلایل افزایش انتقال حرارت در لوله‌های تخت مشخص نیست، اما فرضیه‌هایی برای افزایش انتقال حرارت با استفاده از لوله‌های تخت در کندانسور مطرح شده‌اند.^[۲]

که برای انتقال حرارت جوششی نیز توجیه پذیرند:

اولاً، کاهش ارتفاع داخلی لوله سبب کاهش انرژی مورد نیاز برای تکردن سطح بالای لوله می‌شود. در نتیجه تغییر رژیم جریان از جریان جداسده به حلقوی نسبت به لوله‌ی گرد سریع‌تر اتفاق می‌افتد. با توجه به این که فیلم مایع اطراف لوله سبب افزایش اثرات تربولانس بین فارمایع و گاز می‌شود، در نتیجه میزان انتقال حرارت در رژیم جریان حلقوی بیشتر است. بنابراین، میزان انتقال حرارت در لوله‌های تخت نسبت به لوله‌ی گرد بیشتر است.

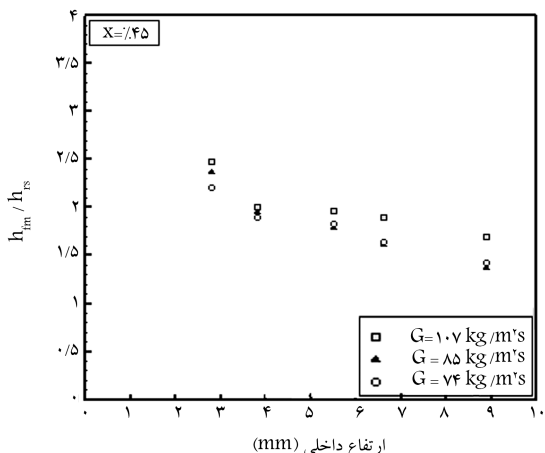
ثانیاً، استفاده از لوله‌های تخت ممکن است میدان جریان را به گونه‌ی تغییر دهد که بدون تغییر رژیم جریان، میزان انتقال حرارت افزایش یابد؛ یعنی میدان جریان بدون آن که رژیم جریان از جداسده به حلقوی تغییر کند تحت تأثیر قرار می‌گیرد. مثلاً در رژیم جریان حلقوی، در بعضی از جریان‌ها موج‌های مغشوش یا موج حلقوی دیده می‌شود در حالی که در بعضی از جریانات حلقوی این موج‌ها دیده نمی‌شوند.

سومین احتمال را می‌توان ناشی از شکل‌گیری رژیم جریانی متفاوت — به‌نحوی که میزان انتقال حرارت افزایش یابد — دانست.

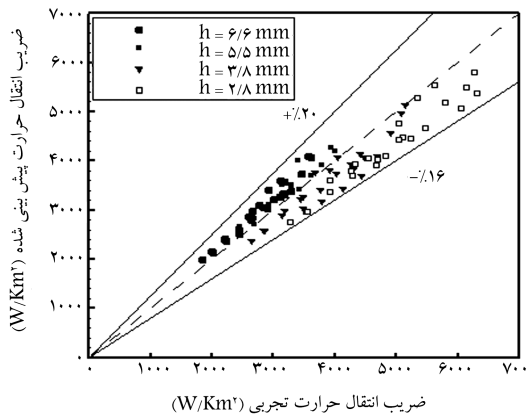
درخصوص رژیم جریان در لوله‌ی گرد میکروفین دار با استفاده از مطالعات پیشین^[۱۰] و نقشه‌ی اصلاح شده‌ی آن برای لوله‌ی میکروفین افقی^[۱۱] و نیز داده‌های جمع‌آوری شده در این مطالعه‌ی تجربی، مشاهده می‌شود که بعضی از داده‌ها در ناحیه‌ی جریان جداسده موجی و بعضی در ناحیه‌ی جریان حلقوی قرار می‌گیرند. با توجه به این که مدل جداسده موجی نوعی رژیم حلقوی با خشکشدن جزئی تعریف می‌شود، می‌توان گفت که رژیم جریان در تمامی مقاطع تقریباً حلقوی است. درخصوص لوله‌های تخت شده اطلاع دقیقی از وضعیت الگوی جریان در لوله نیست، اگرچه یکی از دلایل محتمل برای افزایش ضریب انتقال حرارت ناشی از تخت شدن لوله ممکن است تغییر زودتر الگوی جریان از حالت جداسده موجی به حالت حلقوی باشد.

در شکل ۸ تغییرات نسبت ضریب افزایش انتقال حرارت بر حسب ارتفاع داخلی لوله‌ی میکروفین دار تخت در سرعت‌های جرمی متفاوت و کیفیت بخار ۴۵٪ نشان داده شده است. چنان‌که پیش تر گفته شد و در این شکل نیز مشهود است، با افزایش ارتفاع داخلی لوله (کاهش میزان تخت شدن)^[۲] نسبت افزایش ضریب انتقال حرارت کاهش می‌یابد. البته باید توجه داشت که مطالعه‌ی انجام شده در کندانسور^[۲] نشان می‌هد که این نسبت در لوله‌ی با ارتفاع داخلی کمتر از ۲ میلی‌متر، کمتر از نسبت مربوط به لوله‌ی با ارتفاع داخلی ۳ میلی‌متر است. به‌همین دلیل انجام تحقیقات مشابه در اوپلائر ضروری به نظر می‌رسد. با توجه به شکل ۸ همچنین می‌توان دریافت که در لوله‌ی با هندسه‌ی خاص و در کیفیت مشخص، روند یکنواختی بین سرعت جرمی و نسبت افزایش انتقال حرارت دیده نمی‌شود.

در شکل ۹ نسبت ضرایب انتقال حرارت لوله‌ی گرد و تخت میکروفین دار به لوله‌ی گرد صاف، در تمامی موارد بر حسب ارتفاع داخلی لوله نشان داده شده است. چنان‌که مشاهده می‌شود، نسبت ضرایب انتقال حرارت جوششی در لوله‌های تخت میکروفین دار به لوله‌ی گرد صاف در تمامی موارد بیشتر از ۱ است. این نسبت با کاهش ارتفاع داخلی لوله افزایش می‌یابد و بین ۱/۳۴ تا ۳/۳۹ در تغییر است. مطابق انتظار، پیشنهاد نسبت h_{fm}/h_{rs} در لوله‌ی تخت با کمترین ارتفاع داخلی یعنی ۲/۸ mm و در سرعت جرمی ۲/۸ $\text{kg/m}^2\text{s}$ نسبت نیز در لوله‌ی با کمترین میزان تخت شدن^[۲] و همین سرعت جرمی رخ می‌دهد. افزایش انتقال حرارت جوششی در مورد لوله‌های میکروفین دار عموماً ناشی از ترکیب چهار اثر زیر است:



شکل ۸. تغییرات نسبت ضریب افزایش انتقال حرارت با ارتفاع داخلی لوله‌ی میکروفین دار تخت در سرعت جرمی‌های مختلف و کیفیت ۴۵٪.



شکل ۱۰. مقایسه‌ی ضرایب انتقال حرارت آزمایشگاهی لوله‌ی میکروفین دار تخت با پیش‌بینی رابطه‌ی ۲.

در شکل ۱۰ نتایج حاصل از مقایسه‌ی نتایج آزمایشگاهی و مقادیر پیش‌بینی شده توسط رابطه‌ی ۲ نشان داده است. چنان که مشاهده می‌شود، میزان انحراف داده‌های پیشنهادی این رابطه از نتایج آزمایشگاهی در محدوده $\pm 20\%$ است.

نتیجه‌گیری

- نتایج حاصل از مطالعه‌ی انجام شده را می‌توان به طور خلاصه چنین ارائه کرد:
- ضریب انتقال حرارت جوششی در لوله‌های میکروفین دار تخت نیز مانند لوله‌ی میکروفین دار گرد با افزایش سرعت جرمی و کیفیت بخار افزایش می‌یابد.
- استفاده از لوله‌های تخت سبب افزایش انتقال حرارت نسبت به لوله‌ی گرد در سرعت جرمی و کیفیت بخار یکسان می‌شود. بیشترین میزان افزایش انتقال حرارت در لوله‌ی تخت میکروفین دار با ارتفاع داخلی $2/8$ میلی‌متر (تخت‌ترین لوله) و در سرعت جرمی $85 \text{ kg/m}^3 \text{s}$ روی می‌دهد که به میزان 239% نسبت به لوله‌ی صاف گرد است.
- نسبت ضریب انتقال حرارت لوله‌ی میکروفین دار تخت به ضریب انتقال حرارت لوله‌ی گرد صاف با افزایش کیفیت بخار افزایش می‌یابد ولی درمورد تغییر آن با افزایش سرعت جرمی نمی‌توان پیش‌بینی خاصی داشت.
- براساس داده‌های تجربی مطالعه‌ی حاضر، رابطه‌ی برای تخمین ضرایب انتقال حرارت در لوله‌های میکروفین دار تخت ارائه شد.

پانوشت

1. evaporator

منابع

- Akhavan-Behabadi, M.A.; Kumar, R. and Jamali, M. "Investigation on heat transfer and pressure drop dur-

رابطه‌ی پیشنهادی برای محاسبه‌ی ضریب انتقال حرارت

براساس نتایج آزمایشگاهی حاصله، رابطه‌ی ۲ برای پیش‌بینی ضریب انتقال حرارت در لوله‌های میکروفین دار تخت ارائه می‌شود:

$$h_{TP} = h_f \left(1 + 3000 Bo^{0.86} + 1.12 \left(\frac{x}{1-x} \right)^{0.75} \left(\frac{\rho_f}{\rho_g} \right)^{0.41} \right) \times \frac{D}{D_f} \times \frac{S_m}{S_s} \times \left(\frac{x}{1-x} \right)^{0.05} \quad (2)$$

که در آن D معرف قطر داخلی در ریشه‌ی فین لوله‌ی گرد و D_f معرف قطر هیدرولیکی لوله‌ی تخت است که از رابطه $D_f = \frac{\pi \times A}{P}$ به دست می‌آید (A مساحت داخلی و P محیط سطح داخلی ریشه‌ی فین لوله است). نسبت S_m/S_s نسبت افزایش سطح داخلی لوله‌ی میکروفین دار در اثر حضور فین است. ضریب انتقال حرارت تک‌فاز مایع (h_f) و عدد جوشش (Bo) نیز از طریق رابطه‌های ۳ و ۴ به دست می‌آیند:

$$h_f = 0.022 Re_f^{0.8} Pr_f^{0.7} \left(\frac{k_f}{D} \right) \quad (3)$$

$$Bo = \frac{q}{G h_f k_f} \quad (4)$$

عدد رینولدز مایع (Re_f) نیز از رابطه‌ی ۵ محاسبه می‌شود:

$$Re_f = \frac{G(1-x)D}{\mu_f} \quad (5)$$

با توجه به این که رابطه‌ی جانگر و وینترون^[4] تطابق خوبی با داده‌های این مطالعه در لوله‌ی گرد داشت، درواقع رابطه‌ی ارائه شده بر مبنای این رابطه است. عبارت

$$h_{TP} = h_f \left(1 + 3000 Bo^{0.86} + 1.12 \left(\frac{x}{1-x} \right)^{0.75} \left(\frac{\rho_f}{\rho_g} \right)^{0.41} \right) \times \frac{D}{D_f} \times \frac{S_m}{S_s} \times \left(\frac{x}{1-x} \right)^{0.05} \quad (6)$$

مشابه رابطه‌ی لوله‌ی گرد است و ضرایب $\frac{D}{D_f}$ برای تأثیر میزان تخت‌شدگی، زیری لوله و تطابق بهتر با داده‌های آزمایش در نظر گرفته شده است. این رابطه برای سرعت جرمی میان $74 \text{ kg/m}^3 \text{s}$ و $2 \text{ kg/m}^3 \text{s}$ در کیفیت بخار بین 20° تا 90° و میبد R-134a به دست آمده است.

ing swirl flow boiling of R-134a in a horizontal tube", *International Journal of Heat and Mass Transfer*, **52**, pp. 1918-1927 (2009).

2. Akhavan-Behabadi, M.A.; Kumar, R. and Mohseni, S.G. "Condensation heat transfer of R-134a inside a microfin tube with different tube inclinations", *International Journal of Heat and Mass Transfer*, **50**, pp. 4864-4871 (2007).
3. Wilson, M.J.; Newell, T.A.; Chato, J.C. and Infante Ferreira, C.A. "Refrigerant charge, pressure drop and con-

- densation heat transfer in flattened tubes”, *International Journal of Refrigeration*, **26**, pp. 442-451 (2002).
4. Sonntag, R.; Borgnakke, C. and VanWylen, G., *Fundamentals of Thermodynamics*, Sixth Edition, John Wiley & Sons, New York, pp. 700-701 (2003).
 5. Collier, J. and Thome, J., *Convective Boiling and Condensation*, Oxford, University Press (1994).
 6. Schultz, R.R. and Cole, R. “Uncertainty analysis in boiling nucleation”, *AICHE Symp. Series*, **75**(189), pp. 32-38 (1979).
 7. Koyama, S.; Yu, J. and Momoki, S. “Experimental study of flow boiling heat transfer in a horizontal microfin tube”, *The Reports of Institute of Advanced Material Study, Kyushu University*, **9**, pp. 27-42 (1995).
 8. Gungor, K.E. and Winterton, R.H. “A general correlation for flow boiling in tubes and annuli”, *International Journal of Heat and Mass Transfer*, **29**(3), pp. 351-358 (1985).
 9. Gungor, K.E. and Winterton, R.H. “Simplified general correlation for saturated flow boiling and comparison of correlations to data”, *Industrial & Engineering Chemistry Process Design and Development*, **65**, pp. 148-156 (1987).
 10. Kattan, N.; Thome, J.R. and Favart, D. “Boiling of R-134a and R-123 in a microfin tube”, *Proc. 19th Int. Congress of Refrigeration Iva.*, pp. 337-344 (1995).
 11. Spindler, K. and Steinhagen, M.H. “Flow boiling heat transfer of R134a and R404A in a microfin tube at low mass fluxes and low heat fluxes”, *Heat Mass Transfer*, DOI 10.1007/s00231-007-0326-8 (2007).

